



Arytmetyka przedziałowa.

Przedziałowa metoda . . .

Relacje nakrywające.

© 2006 D.Wilczak

Strona tytułowa



Strona 1 z 27

Powrót

Pełny ekran

Zamknij

Koniec

Daniel Wilczak

Geometryczna metoda dowodzenia istnienia bifurkacji heteroklinicznych i homoklinicznych oraz chaosu z zastosowaniem do układu Michelsona.

Warszawa, 2006

1. Arytmetyka przedziałowa.

- $\overline{\mathbb{R}} := \mathbb{R} \cup \{-\infty, \infty\}$.
- $\mathbb{I} := \{[a, b] : a, b \in \mathbb{R}, a \leq b\}$ - zbiór wszystkich przedziałów w \mathbb{R} .
- $\overline{\mathbb{I}} := \{[a, b] : a, b \in \overline{\mathbb{R}}, a \leq b\}$ - zbiór wszystkich przedziałów w $\overline{\mathbb{R}}$.



Arytmetyka przedziałowa.

Przedziałowa metoda . . .

Relacje nakrywające.

© 2006 D.Wilczak

Strona tytułowa



Strona 2 z 27

Powrót

Pełny ekran

Zamknij

Koniec

1. Arytmetyka przedziałowa.

- $\overline{\mathbb{R}} := \mathbb{R} \cup \{-\infty, \infty\}$.
- $\mathbb{I} := \{[a, b] : a, b \in \mathbb{R}, a \leq b\}$ - zbiór wszystkich przedziałów w \mathbb{R} .
- $\overline{\mathbb{I}} := \{[a, b] : a, b \in \overline{\mathbb{R}}, a \leq b\}$ - zbiór wszystkich przedziałów w $\overline{\mathbb{R}}$.

Rozszerzamy operacje $+$, $-$, \cdot , $/$ na przedziały. Dla $\mathbf{a}, \mathbf{b} \in \mathbb{I}$ oraz pewnego działania $\diamond \in \{+, -, \cdot, /\}$ określamy

$$\mathbf{a} \diamond \mathbf{b} := \{x \diamond y : x \in \mathbf{a}, y \in \mathbf{b}\}.$$

Zakładamy dodatkowo, że jeśli $\diamond = /$ to $0 \notin \mathbf{b}$ (czyli nie dzielimy przez przedziały zawierające zero).



Arytmetyka przedziałowa.

Przedziałowa metoda ...

Relacje nakrywające.

© 2006 D. Wilczak

Strona tytułowa



Strona 2 z 27

Powrót

Pełny ekran

Zamknij

Koniec

1. Arytmetyka przedziałowa.

- $\overline{\mathbb{R}} := \mathbb{R} \cup \{-\infty, \infty\}$.
- $\mathbb{I} := \{[a, b] : a, b \in \mathbb{R}, a \leq b\}$ - zbiór wszystkich przedziałów w \mathbb{R} .
- $\overline{\mathbb{I}} := \{[a, b] : a, b \in \overline{\mathbb{R}}, a \leq b\}$ - zbiór wszystkich przedziałów w $\overline{\mathbb{R}}$.

Rozszerzamy operacje $+$, $-$, \cdot , $/$ na przedziały. Dla $\mathbf{a}, \mathbf{b} \in \mathbb{I}$ oraz pewnego działania $\diamond \in \{+, -, \cdot, /\}$ określamy

$$\mathbf{a} \diamond \mathbf{b} := \{x \diamond y : x \in \mathbf{a}, y \in \mathbf{b}\}.$$

Zakładamy dodatkowo, że jeśli $\diamond = /$ to $0 \notin \mathbf{b}$ (czyli nie dzielimy przez przedziały zawierające zero).

Uwaga:

Do wyznaczania wartości elementarnych operacji arytmetycznych na przedziałach wystarczy policzyć wynik operacji arytmetycznej dla końców tego przedziału.



Arytmetyka przedziałowa.

Przedziałowa metoda ...

Relacje nakrywające.

© 2006 D. Wilczak

Strona tytułowa



Strona 2 z 27

Powrót

Pełny ekran

Zamknij

Koniec



Przykład 1 Wyznamy wartość funkcji $x^2 - 2x - 1$ na przedziale $x = [-1, 1]$ na trzy różne sposoby.

Zgodnie z zasadami obliczeń w arytmetyce przedziałowej otrzymujemy

$$\begin{aligned}x^2 - 2x - 1 &= [-1, 1]^2 - 2[-1, 1] - 1 \\ &= [0, 1] - [-2, 2] - 1 = [-2, 3] - 1 = [-3, 2]\end{aligned}$$



Przykład 1 Wyznamy wartość funkcji $x^2 - 2x - 1$ na przedziale $x = [-1, 1]$ na trzy różne sposoby.

Zgodnie z zasadami obliczeń w arytmetyce przedziałowej otrzymujemy

$$\begin{aligned}x^2 - 2x - 1 &= [-1, 1]^2 - 2[-1, 1] - 1 \\ &= [0, 1] - [-2, 2] - 1 = [-2, 3] - 1 = [-3, 2]\end{aligned}$$

$$\begin{aligned}x(x - 2) - 1 &= [-1, 1] * ([-1, 1] - 2) - 1 \\ &= [-1, 1] * [-3, -1] - 1 = [-3, 3] - 1 = [-4, 2]\end{aligned}$$



Przykład 1 Wyznamy wartość funkcji $x^2 - 2x - 1$ na przedziale $x = [-1, 1]$ na trzy różne sposoby.

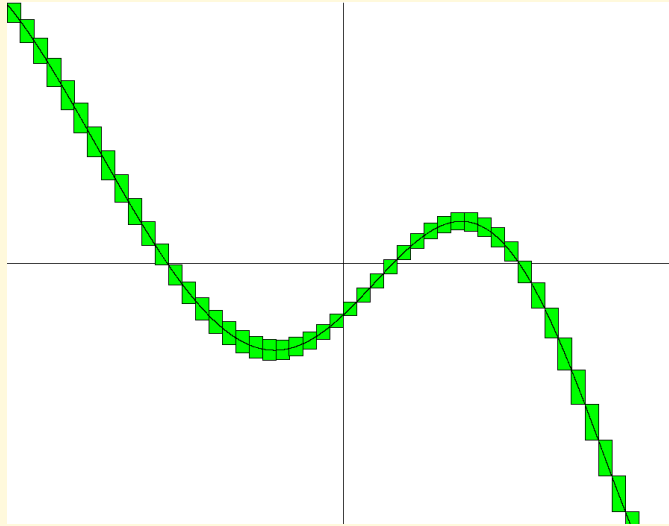
Zgodnie z zasadami obliczeń w arytmetyce przedziałowej otrzymujemy

$$\begin{aligned}x^2 - 2x - 1 &= [-1, 1]^2 - 2[-1, 1] - 1 \\ &= [0, 1] - [-2, 2] - 1 = [-2, 3] - 1 = [-3, 2]\end{aligned}$$

$$\begin{aligned}x(x - 2) - 1 &= [-1, 1] * ([-1, 1] - 2) - 1 \\ &= [-1, 1] * [-3, -1] - 1 = [-3, 3] - 1 = [-4, 2]\end{aligned}$$

$$(x - 1)^2 - 2 = ([-1, 1] - 1)^2 - 2 = ([-2, 0])^2 - 2 = [0, 4] - 2 = [-2, 2]$$

Oszacowanie wartości funkcji



Zobacz program w C++.



Arytmetyka przedziałowa.

Przedziałowa metoda . . .

Relacje nakrywające.

© 2006 D.Wilczak

Strona tytułowa



Strona 4 z 27

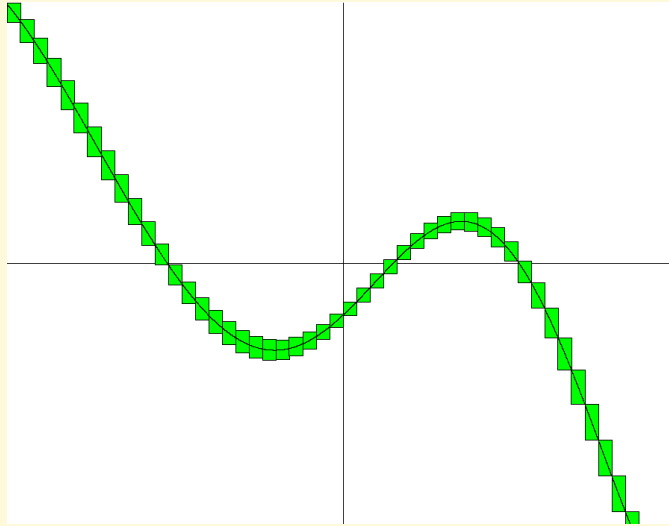
Powrót

Pełny ekran

Zamknij

Koniec

Oszacowanie wartości funkcji



Zobacz program w C++.

Twierdzenie 1 (*Własność Darboux*) Jeśli $f : [a, b] \rightarrow \mathbb{R}$ jest ciągła, to przyjmuje wszystkie wartości pośrednie pomiędzy $f(a)$ oraz $f(b)$.



Arytmetyka przedziałowa.

Przedziałowa metoda . . .

Relacje nakrywające.

© 2006 D.Wilczak

Strona tytułowa



Strona 4 z 27

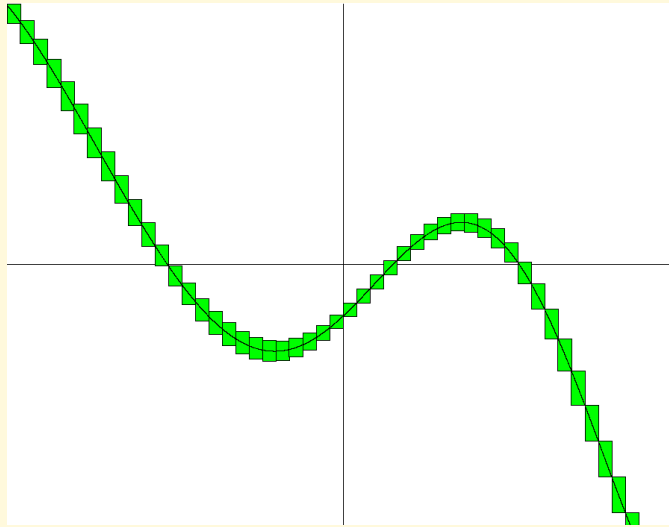
Powrót

Pełny ekran

Zamknij

Koniec

Oszacowanie wartości funkcji



Zobacz program w C++.

Twierdzenie 1 (*Własność Darboux*) Jeśli $f : [a, b] \rightarrow \mathbb{R}$ jest ciągła, to przyjmuje wszystkie wartości pośrednie pomiędzy $f(a)$ oraz $f(b)$.

Uwaga: Przy pomocy komputera i arytmetyki przedziałowej możemy **udowodnić**, że pewna funkcja ma miejsce zerowe.



Arytmetyka przedziałowa.

Przedziałowa metoda . . .

Relacje nakrywające.

© 2006 D. Wilczak

Strona tytułowa



Strona 4 z 27

Powrót

Pełny ekran

Zamknij

Koniec



Arytmetyka przedziałowa.

Przedziałowa metoda . . .

Relacje nakrywające.

© 2006 D.Wilczak

Strona tytułowa



Strona 5 z 27

Powrót

Pełny ekran

Zamknij

Koniec

2. Przedziałowa metoda Newtona.

Niech $f : \mathbb{R}^n \rightarrow \mathbb{R}^n$ będzie klasy \mathcal{C}^1 . Dla $U \subset \mathbb{R}^n$ oraz $x_0 \in U$ określamy przedziałowy operator Newtona

$$N(f, x_0, U) = x_0 - (Df(U))^{-1} \cdot f(x_0)$$



2. Przedziałowa metoda Newtona.

Niech $f : \mathbb{R}^n \rightarrow \mathbb{R}^n$ będzie klasy \mathcal{C}^1 . Dla $U \subset \mathbb{R}^n$ oraz $x_0 \in U$ określamy przedziałowy operator Newtona

$$N(f, x_0, U) = x_0 - (Df(U))^{-1} \cdot f(x_0)$$

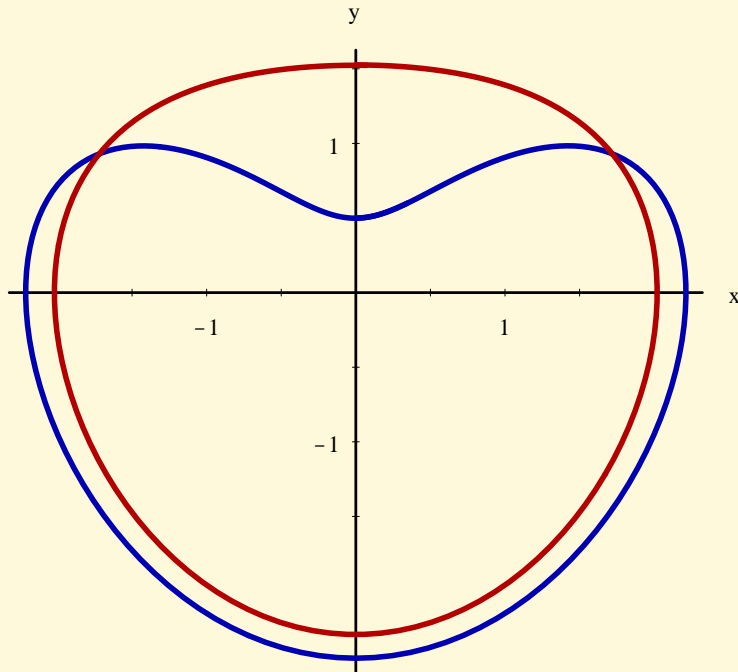
Twierdzenie 2 (przedziałowa metoda Newtona)

Jeżeli U jest zwarty i wypukły oraz $N(f, x_0, U) \subset U$, to istnieje dokładnie jeden $x^ \in U$ taki, że $f(x^*) = 0$.*

Twierdzenie 3 (W.C. Troy, 1989) Dla parametru $c = 1$ równanie

$$\begin{cases} \dot{x} = y \\ \dot{y} = z \\ \dot{z} = c^2 - y - \frac{1}{2}x^2 \end{cases} \quad (1)$$

ma co najmniej dwa rozwiązania okresowe.



Arytmetyka przedziałowa.

Przedziałowa metoda...

Relacje nakrywające.

© 2006 D.Wilczak

Strona tytułowa



Strona 6 z 27

Powrót

Pełny ekran

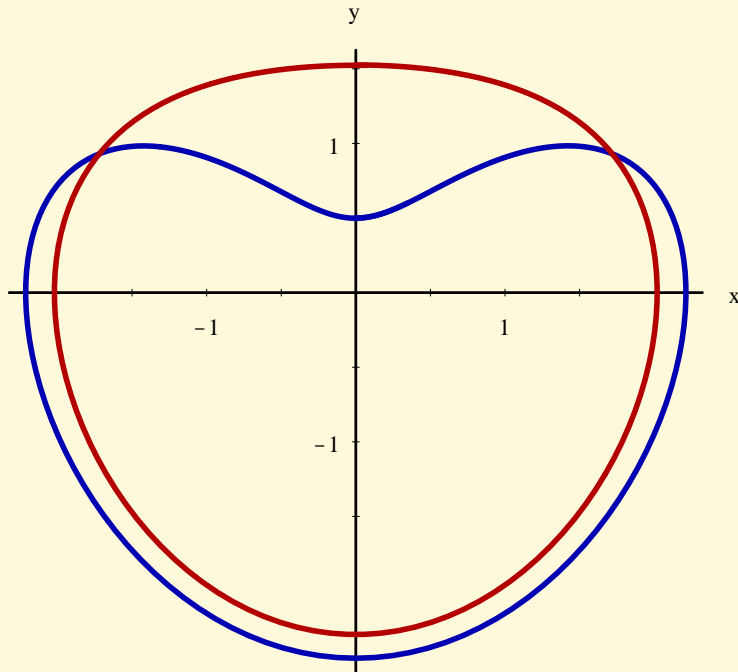
Zamknij

Koniec

Twierdzenie 3 (W.C. Troy, 1989) Dla parametru $c = 1$ równanie

$$\begin{cases} \dot{x} = y \\ \dot{y} = z \\ \dot{z} = c^2 - y - \frac{1}{2}x^2 \end{cases} \quad (1)$$

ma co najmniej dwa rozwiązania okresowe.



Dowód wspierany kalkulatorem.



Arytmetyka przedziałowa.

Przedziałowa metoda...

Relacje nakrywające.

© 2006 D. Wilczak

Strona tytułowa



Strona 6 z 27

Powrót

Pełny ekran

Zamknij

Koniec

Przykład zastosowania metody Newtona.

Rozważmy sekcję Poincarégo $\Theta = \{(x, y, 0) \in \mathbb{R}^3 : x, y, \in \mathbb{R}, y > 0\}$

Zobacz program w C++.



Arytmetyka przedziałowa.

Przedziałowa metoda...

Relacje nakrywające.

© 2006 D. Wilczak

Strona tytułowa



Strona 7 z 27

Powrót

Pełny ekran

Zamknij

Koniec



Przykład zastosowania metody Newtona.

Rozważmy sekcję Poincarégo $\Theta = \{(x, y, 0) \in \mathbb{R}^3 : x, y, \in \mathbb{R}, y > 0\}$

Zobacz program w C++.

Określamy $U = [-0.0001, 0.0001] \times [1.525, 1.527]$, oraz $x_0 = (0, 1.526)$ oraz funkcję $F = P - \text{Id}|_{\Theta}$.

Lemat 4 (*wspierany komputerowo*) *Odwzorowanie Poincarégo* $P : \Theta \rightarrow \Theta$ jest dobrze określone i klasy C^1 na zbiorze U . Ponadto, macierz przedziałowa $DF(U)$ jest odwracalna oraz $N(F, x_0, U) \subset U$.

Zobacz program w C++.

Rozważmy ruch N -ciał w polu grawitacyjnym. Przy założeniu, że wszystkie ciała mają taką samą masę oraz stała grawitacji jest równa jeden, równania ruchu tych ciał to

$$\ddot{q}_i = \sum_{i \neq j} \frac{q_i - q_j}{r_{ij}^3}, \quad i = 1, \dots, N$$



Arytmetyka przedziałowa.

Przedziałowa metoda . . .

Relacje nakrywające.

© 2006 D.Wilczak

Strona tytułowa



Strona 8 z 27

Powrót

Pełny ekran

Zamknij

Koniec



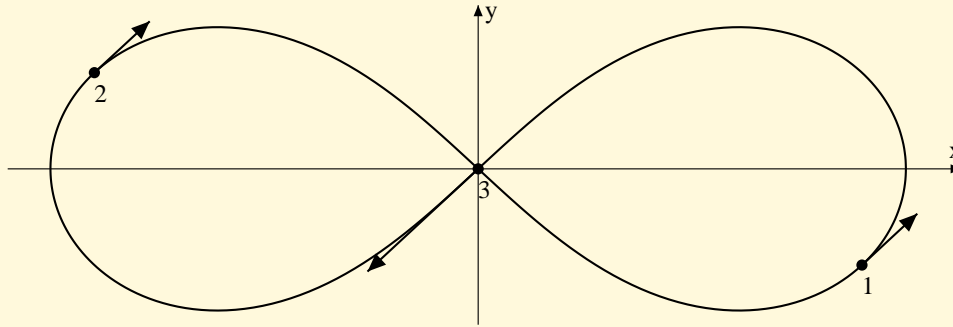
Rozważmy ruch N -ciał w polu grawitacyjnym. Przy założeniu, że wszystkie ciała mają taką samą masę oraz stała grawitacji jest równa jeden, równania ruchu tych ciał to

$$\ddot{q}_i = \sum_{i \neq j} \frac{q_i - q_j}{r_{ij}^3}, \quad i = 1, \dots, N \quad (2)$$

Definicja 1 *Choreografią nazywamy takie rozwiązanie okresowe równania ruchu (2), w którym wszystkie ciała poruszają się po tej samej krzywej zamkniętej i mają równe odstępny czasowe, czyli istnieje $T > 0$ takie, że*

$$\begin{aligned} q_i(t + T) &= q_i(t), \quad i = 1, \dots, N \\ q_i\left(t + \frac{T}{N}\right) &= q_{i+1}(t), \quad i = 1, \dots, N - 1 \\ q_N\left(t + \frac{T}{N}\right) &= q_1(t) \end{aligned}$$

Przykłady choreografii.



Historia:

- 1993, Moore - znalazł numerycznie choreografię w kształcie ósemki



Arytmetyka przedziałowa.

Przedziałowa metoda...

Relacje nakrywające.

© 2006 D. Wilczak

Strona tytułowa



Strona 9 z 27

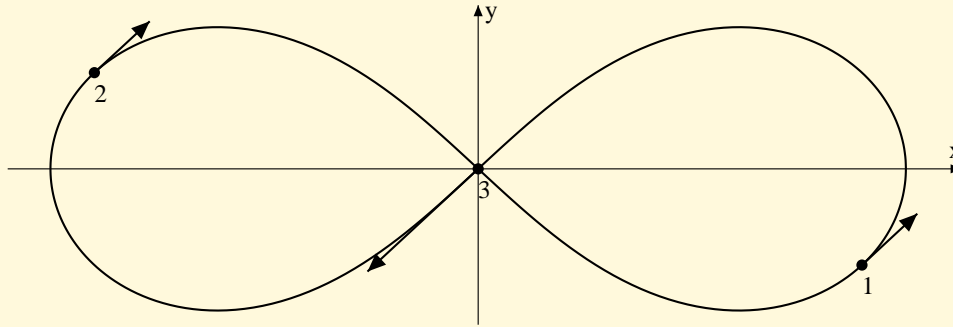
Powrót

Pełny ekran

Zamknij

Koniec

Przykłady choreografii.



Historia:

- 1993, Moore - znalazł numerycznie choreografię w kształcie ósemki
- 2000, Chenciner, Montgomery - analityczny dowód istnienia rozwiązania z samoprzecięciem - brak dowodu wypukłości



Arytmetyka przedziałowa.

Przedziałowa metoda . . .

Relacje nakrywające.

© 2006 D. Wilczak

Strona tytułowa



Strona 9 z 27

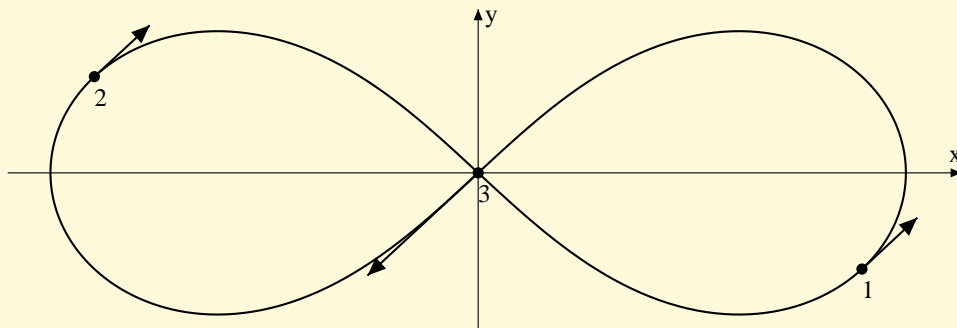
Powrót

Pełny ekran

Zamknij

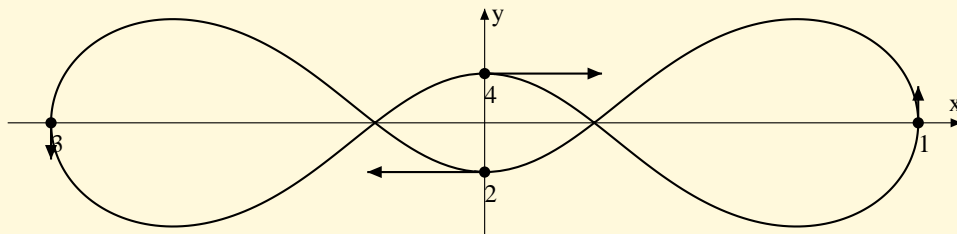
Koniec

Przykłady choreografii.



Historia:

- 1993, Moore - znalazł numerycznie choreografię w kształcie ósemki
- 2000, Chenciner, Montgomery - analityczny dowód istnienia rozwiązania z samoprzecięciem - brak dowodu wypukłości
- 1999, Gerver - znalazł numerycznie choreografię dla czterech ciał



Arytmetyka przedziałowa.

Przedziałowa metoda . . .

Relacje nakrywające.

© 2006 D. Wilczak

Strona tytułowa



Strona 9 z 27

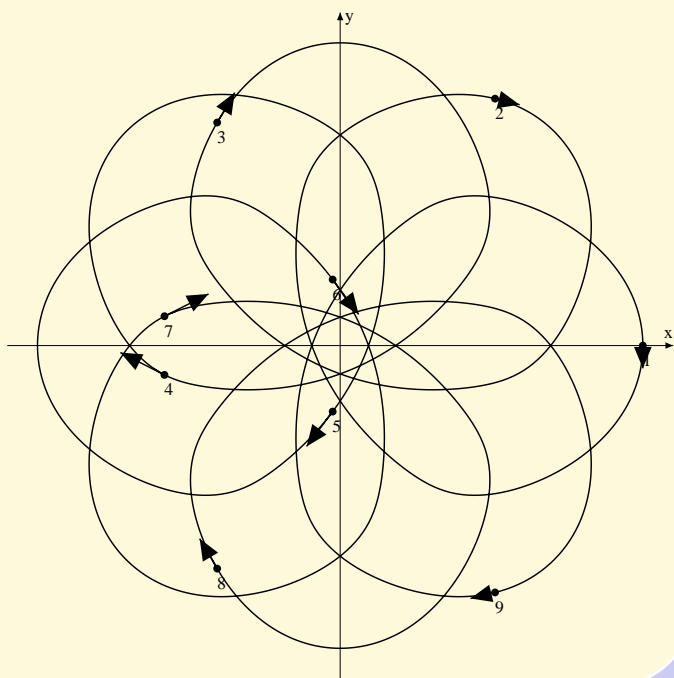
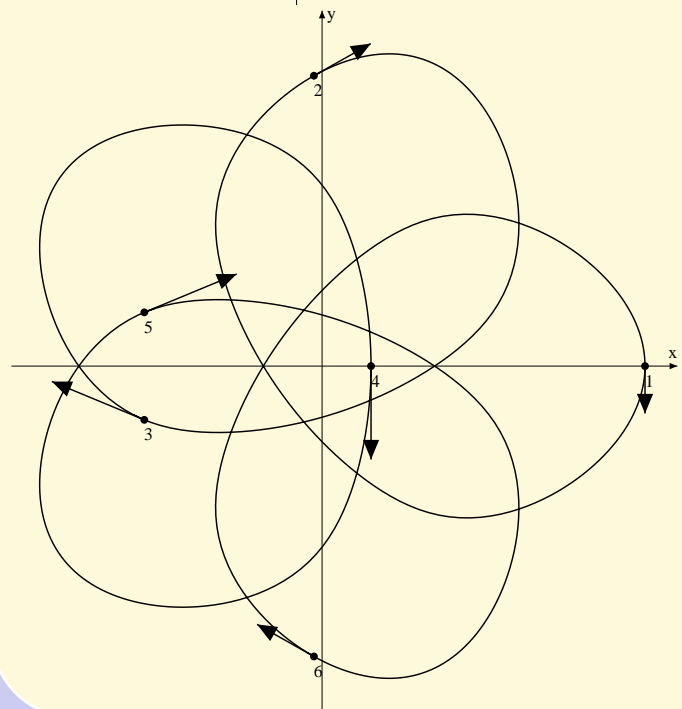
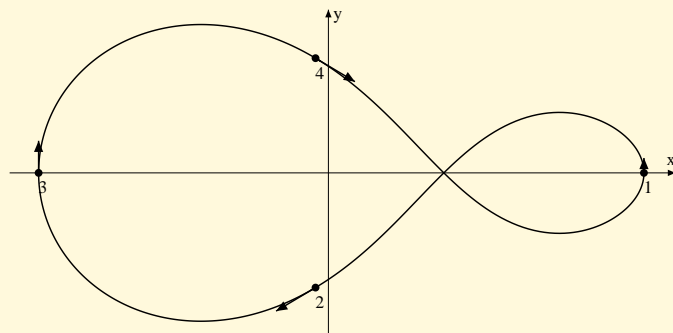
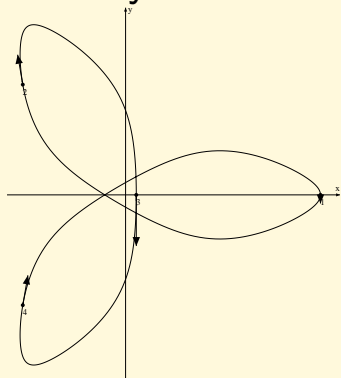
Powrót

Pełny ekran

Zamknij

Koniec

2000 i później, grupa C.Simò z Barcelony - numerycznie wyznaczone choreografie o różnych kształtach dla liczby ciał od 4 do kilkuset.



Arytmetyka przedziałowa.

Przedziałowa metoda . . .

Relacje nakrywające.

© 2006 D.Wilczak

Strona tytułowa



Strona 10 z 27

Powrót

Pełny ekran

Zamknij

Koniec



Arytmetyka przedziałowa.

Przedziałowa metoda . . .

Relacje nakrywające.

© 2006 D.Wilczak

Strona tytułowa



Strona 11 z 27

Powrót

Pełny ekran

Zamknij

Koniec

Twierdzenie 5 (*T.Kapela, P. Zgliczyński, 2003*)

- *ósemka istnieje i jest wypukła*
- *istnienie orbity Gervera*
- *istnienie choreografii dla sześciu ciał*



Arytmetyka przedziałowa.

Przedziałowa metoda . . .

Relacje nakrywające.

© 2006 D.Wilczak

Strona tytułowa



Strona 11 z 27

Powrót

Pełny ekran

Zamknij

Koniec

Twierdzenie 5 (*T.Kapela, P. Zgliczyński, 2003*)

- *ósemka istnieje i jest wypukła*
- *istnienie orbity Gervera*
- *istnienie choreografii dla sześciu ciał*

W późniejszym czasie dowód istnienia szeregu różnych choreografii dla 4,5,6,7 ciał.



Arytmetyka przedziałowa.

Przedziałowa metoda . . .

Relacje nakrywające.

© 2006 D.Wilczak

Strona tytułowa



Strona 11 z 27

Powrót

Pełny ekran

Zamknij

Koniec

Twierdzenie 5 (T.Kapela, P. Zgliczyński, 2003)

- *ósemka istnieje i jest wypukła*
- *istnienie orbity Gervera*
- *istnienie choreografii dla sześciu ciał*

W późniejszym czasie dowód istnienia szeregu różnych choreografii dla 4,5,6,7 ciał.

Komputerowo wspierane dowody oparte o przedziałową metodę Newtona.

3. Relacje nakrywające.

Definicja 2 *h -zbiorem nazywamy układ $(|N|, s(N), u(N), c_N)$ spełniający warunki*

- $|N|$ jest zwartym podzbiorem \mathbb{R}^n
- $u(N), s(N) \in \{0, 1, 2, \dots\}$ oraz $u(N) + s(N) = n$
- $c_N : \mathbb{R}^n \rightarrow \mathbb{R}^n = \mathbb{R}^{u(N)} \times \mathbb{R}^{s(N)}$ jest homeomorfizmem takim, że

$$c_N(|N|) = \overline{B_{u(N)}} \times \overline{B_{s(N)}}.$$



Arytmetyka przedziałowa.

Przedziałowa metoda ...

Relacje nakrywające.

© 2006 D. Wilczak

Strona tytułowa



Strona 12 z 27

Powrót

Pełny ekran

Zamknij

Koniec

3. Relacje nakrywające.

Definicja 2 *h*-zbiorem nazywamy układ $(|N|, s(N), u(N), c_N)$ spełniający warunki

- $|N|$ jest zwartym podzbiorem \mathbb{R}^n
- $u(N), s(N) \in \{0, 1, 2, \dots\}$ oraz $u(N) + s(N) = n$
- $c_N : \mathbb{R}^n \rightarrow \mathbb{R}^n = \mathbb{R}^{u(N)} \times \mathbb{R}^{s(N)}$ jest homeomorfizmem takim, że

$$c_N(|N|) = \overline{B_{u(N)}} \times \overline{B_{s(N)}}.$$

Określamy wtedy

$$\dim(N) := n,$$

$$N_c := \overline{B_{u(N)}} \times \overline{B_{s(N)}},$$

$$N_c^- := \partial B_{u(N)} \times \overline{B_{s(N)}},$$

$$N_c^+ := \overline{B_{u(N)}} \times \partial B_{s(N)},$$

$$N^- := c_N^{-1}(N_c^-), \quad N^+ := c_N^{-1}(N_c^+).$$





Definicja 3 Załóżmy, że N, M są h -zbiorami takimi, że $u(N) = u(M) = u$ oraz $f : N \rightarrow \mathbb{R}^{\dim(M)}$ jest ciągła. Określamy $f_c = c_M \circ f \circ c_N^{-1} : N_c \rightarrow \mathbb{R}^u \times \mathbb{R}^{s(M)}$. Mówimy, że N **f -nakrywa** M i oznaczamy

$$N \xRightarrow{f} M$$

jeżeli zachodzą warunki

1. istnieje homotopia $h : [0, 1] \times N_c \rightarrow \mathbb{R}^u \times \mathbb{R}^{s(M)}$ taka, że

$$h_0 = f_c, \quad (3)$$

$$h([0, 1], N_c^-) \cap M_c = \emptyset, \quad (4)$$

$$h([0, 1], N_c) \cap M_c^+ = \emptyset. \quad (5)$$

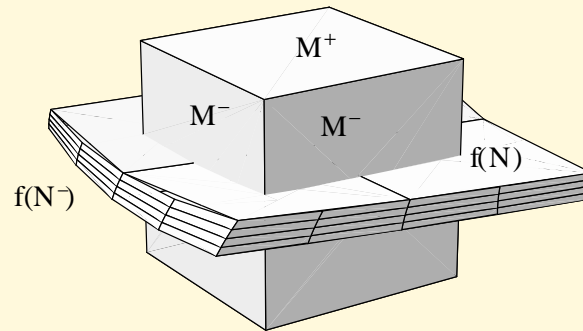
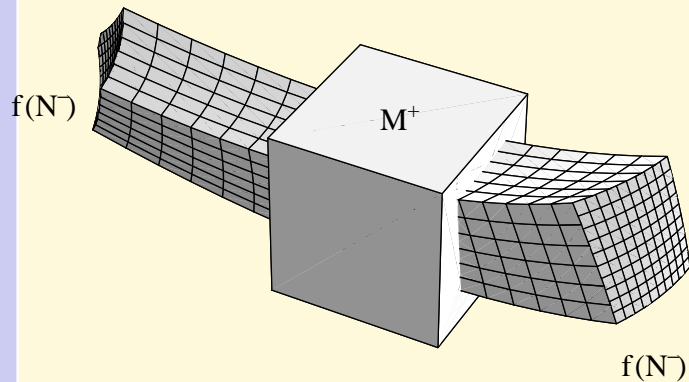
2. istnieje odwzorowanie liniowe $A : \mathbb{R}^u \rightarrow \mathbb{R}^u$ takie, że

$$h_1(p, q) = (A(p), 0), \text{ dla } p \in \overline{B_u} \text{ oraz } q \in \overline{B_{s(N)}}, \quad (6)$$

$$A(\partial B_u) \subset \mathbb{R}^u \setminus \overline{B_u}. \quad (7)$$



Geometria relacji nakrywających



Z lewej: $u(N) = u(M) = 1$ oraz $s(N) = s(M) = 2$.

Z prawej: $u(N) = u(M) = 2$ oraz $s(N) = s(M) = 1$.



Twierdzenie 6 (DW, 2006) Jeżeli

N_i - h -zbiory, $u(N_i) = u$ dla $i \in \mathbb{Z}$

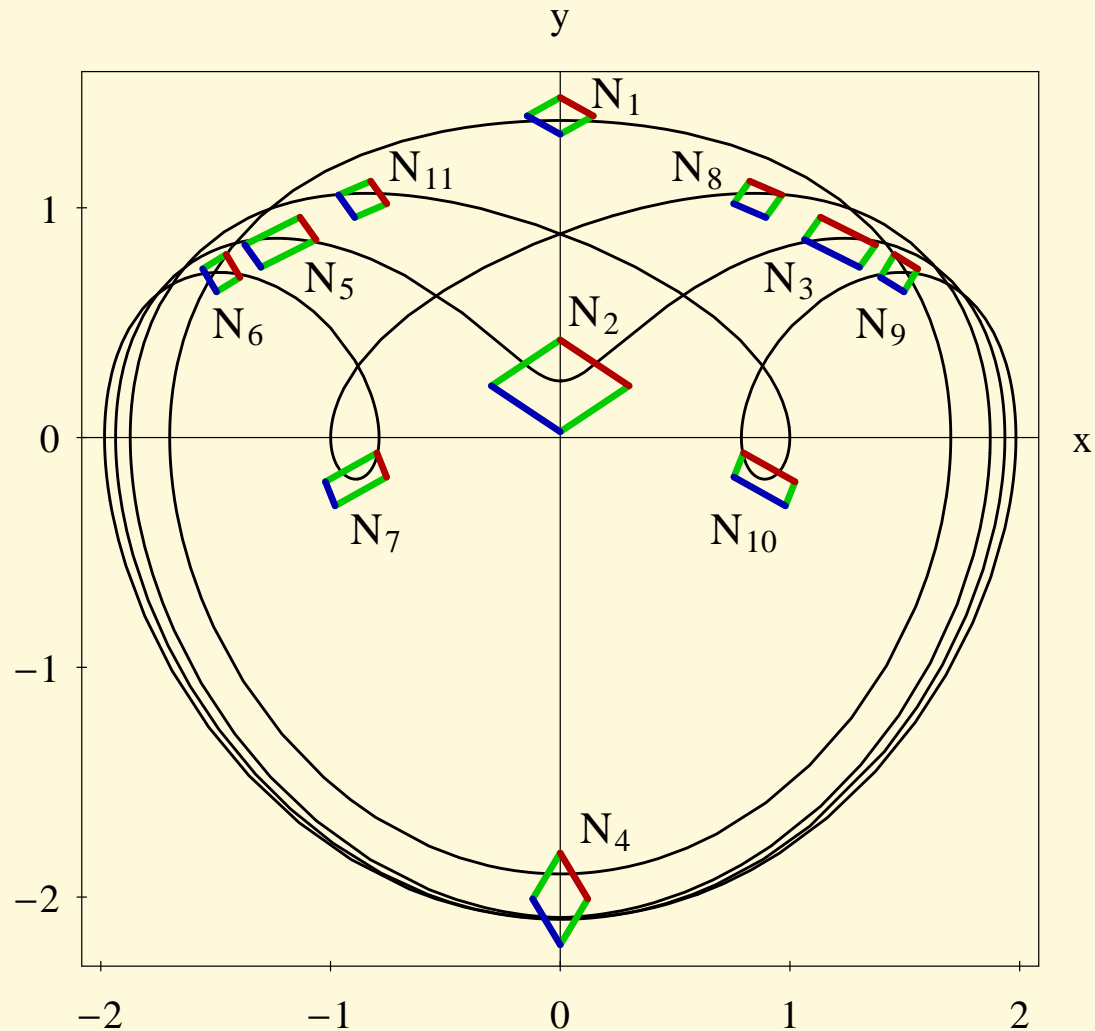
$f_i : |N_i| \rightarrow \mathbb{R}^{\dim(N_{i+1})}$ takie, że $N_i \xrightarrow{f_i} N_{i+1}$

to istnieje ciąg $\{x_i\}_{i \in \mathbb{Z}}$ taki, że

$$f(x_i) = x_{i+1}$$

Ponadto, jeżeli ciąg funkcji i zbiorów jest okresowy, czyli $f_{i+T} = f_i$, $N_{i+T} = N_i$ dla pewnego $T > 0$, to ciąg x_i można wybrać jako okresowy.

Zastosowanie do układu Michelsona.



Arytmetyka przedziałowa.

Przedziałowa metoda ...

Relacje nakrywające.

© 2006 D. Wilczak

Strona tytułowa



Strona 16 z 27

Powrót

Pełny ekran

Zamknij

Koniec



Lemat 7 (wspierany komputerowo, kilka minut na 3GHz) Dla wszystkich wartości parametru $c \in [0.8285, 0.861]$ zachodzą następujące relacje nakrywające

$$\begin{aligned} N_4 &\xrightarrow{P_c} N_1 \xrightarrow{P_c} N_4, \\ N_4 &\xrightarrow{P_c} N_5 \xrightarrow{P_c} N_2 \xrightarrow{P_c} N_3 \xrightarrow{P_c} N_4, \\ N_4 &\xrightarrow{P_c} N_6 \xrightarrow{P_c} N_7 \xrightarrow{P_c} N_8 \xrightarrow{P_c} N_4, \\ N_4 &\xrightarrow{P_c} N_{11} \xrightarrow{P_c} N_{10} \xrightarrow{P_c} N_9 \xrightarrow{P_c} N_4. \end{aligned} \tag{8}$$

gdzie $P_c : \Theta \dashrightarrow \Theta$ jest odwzorowaniem Poincarégo dla równania Michelsona (1) z parametrem c .

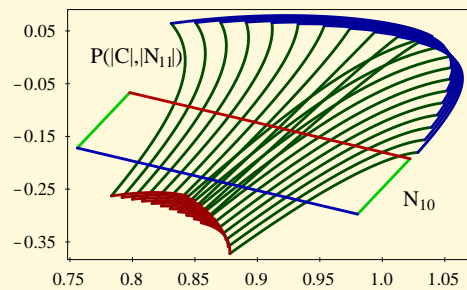
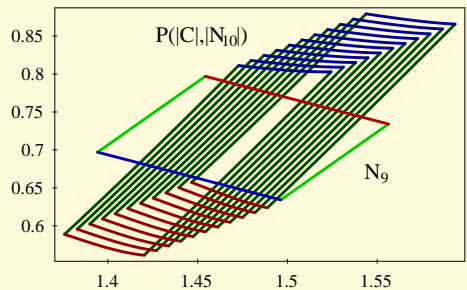
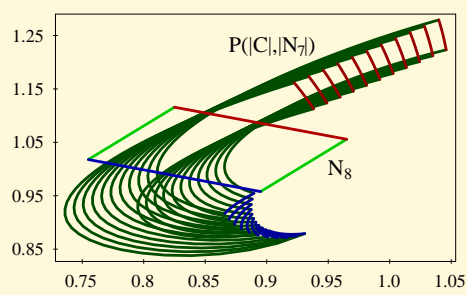
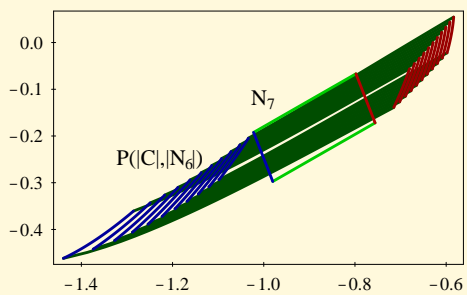
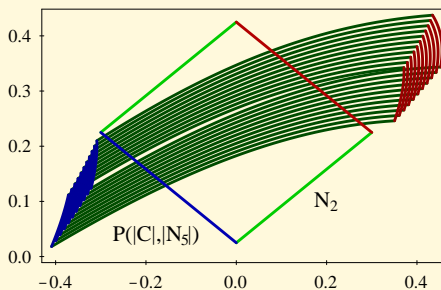
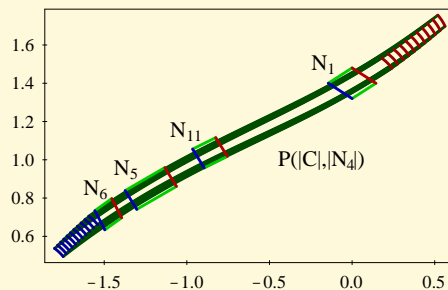
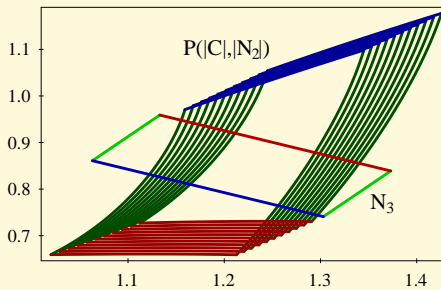
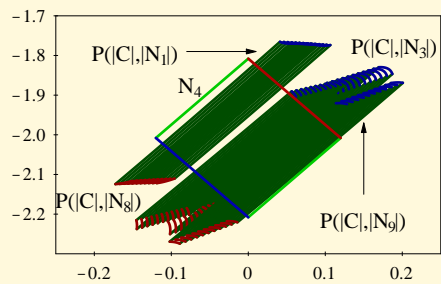


Lemat 7 (wspierany komputerowo, kilka minut na 3GHz) Dla wszystkich wartości parametru $c \in [0.8285, 0.861]$ zachodzą następujące relacje nakrywające

$$\begin{aligned} N_4 &\xrightarrow{P_c} N_1 \xrightarrow{P_c} N_4, \\ N_4 &\xrightarrow{P_c} N_5 \xrightarrow{P_c} N_2 \xrightarrow{P_c} N_3 \xrightarrow{P_c} N_4, \\ N_4 &\xrightarrow{P_c} N_6 \xrightarrow{P_c} N_7 \xrightarrow{P_c} N_8 \xrightarrow{P_c} N_4, \\ N_4 &\xrightarrow{P_c} N_{11} \xrightarrow{P_c} N_{10} \xrightarrow{P_c} N_9 \xrightarrow{P_c} N_4. \end{aligned} \tag{8}$$

gdzie $P_c : \Theta \dashrightarrow \Theta$ jest odwzorowaniem Poincarégo dla równania Michelsona (1) z parametrem c .

Wniosek: Układ Michelsona jest Σ_4 chaotyczny.



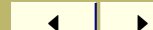
Arytmetyka przedziałowa.

Przedziałowa metoda ...

Relacje nakrywające.

© 2006 D. Wilczak

Strona tytułowa



Strona 18 z 27

Powrót

Pełny ekran

Zamknij

Koniec

Definicja 4 Niech N będzie h -zbiorem. Załóżmy, że $b : \overline{B_{u(N)}} \rightarrow |N|$ jest ciągłe. Określamy $b_c = c_N \circ b$. Mówimy, że b jest **dyskiem horyzontalnym w N** jeżeli istnieje ciągła homotopia $h : [0, 1] \times \overline{B_{u(N)}} \rightarrow N_c$ taka, że

$$h_0 = b_c \tag{9}$$

$$h_1(x) = (x, 0), \quad \text{dla } x \in \overline{B_{u(N)}} \tag{10}$$

$$h(t, x) \in N_c^-, \quad \text{dla } t \in [0, 1] \text{ oraz } x \in \partial B_{u(N)}$$



Arytmetyka przedziałowa.

Przedziałowa metoda ...

Relacje nakrywające.

© 2006 D.Wilczak

Strona tytułowa



Strona 19 z 27

Powrót

Pełny ekran

Zamknij

Koniec



Definicja 4 Niech N będzie h -zbiorem. Załóżmy, że $b : \overline{B_u(N)} \rightarrow |N|$ jest ciągłe. Określamy $b_c = c_N \circ b$. Mówimy, że **b jest dyskiem horyzontalnym w N** jeżeli istnieje ciągła homotopia $h : [0, 1] \times \overline{B_u(N)} \rightarrow N_c$ taka, że

$$h_0 = b_c \quad (9)$$

$$h_1(x) = (x, 0), \quad \text{dla } x \in \overline{B_u(N)} \quad (10)$$

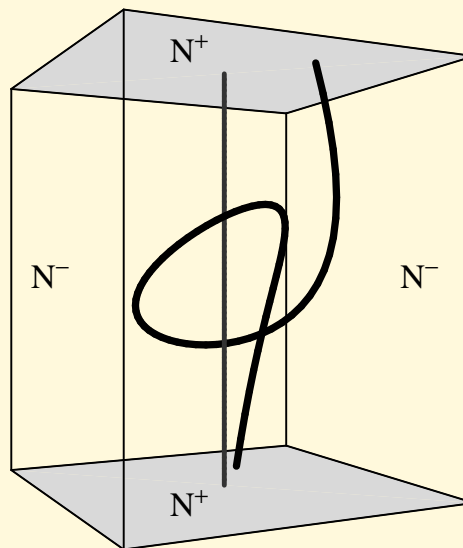
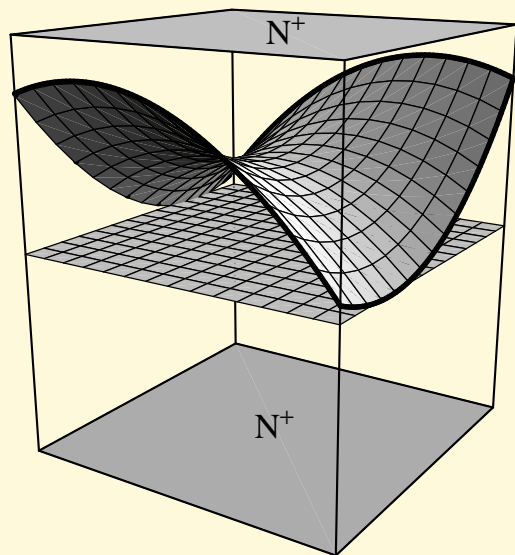
$$h(t, x) \in N_c^-, \quad \text{dla } t \in [0, 1] \text{ oraz } x \in \partial B_u(N) \quad (11)$$

Definicja 5 Niech N będzie h -zbiorem. Załóżmy, że $b : \overline{B_s(N)} \rightarrow |N|$ jest ciągłe. Określamy $b_c = c_N \circ b$. Mówimy, że **b jest dyskiem wertykalnym w N** jeżeli istnieje ciągła homotopia $h : [0, 1] \times \overline{B_s(N)} \rightarrow N_c$ taka, że

$$h_0 = b_c$$

$$h_1(x) = (0, x), \quad \text{dla } x \in \overline{B_s(N)}$$

$$h(t, x) \in N_c^+, \quad \text{dla } t \in [0, 1] \text{ oraz } x \in \partial B_s(N). \quad (12)$$



Z lewej: dysk horyzontalny w N

Z prawej: dysk wertykalny w N



Arytmetyka przedziałowa.

Przedziałowa metoda ...

Relacje nakrywające.

© 2006 D. Wilczak

Strona tytułowa



Strona 20 z 27

Powrót

Pełny ekran

Zamknij

Koniec



Twierdzenie 8 (DW, 2006) Niech Z, N_0, N_1, \dots, N_k , dla $k > 0$ będą h -zbiorami takimi, że $\dim(Z) = u(Z) = u(N_0) = \dots = u(N_k)$. Niech $W : |Z| \rightarrow \mathbb{R}^{\dim(N_0)}$, $f_i : |Z| \times |N_i| \rightarrow \mathbb{R}^{\dim(N_{i+1})}$, $i = 0, \dots, k-1$ będą ciągłe. Niech $v : \overline{B_{s(N_k)}} \rightarrow |N_k|$ będzie dyskiem wertykalnym w N_k .
Jeśli $Z \xrightarrow{W} N_0$ oraz dla wszystkich $z \in |Z|$

$$N_0 \xrightarrow{f_0(z, \cdot)} N_1 \xrightarrow{f_1(z, \cdot)} \dots \xrightarrow{f_{k-1}(z, \cdot)} N_k$$

to istnieje parametr $z_0 \in |Z|$ taki, że

$$W(z_0) \in |N_0|,$$

$$(f_i(z_0, \cdot) \circ \dots \circ f_0(z_0, \cdot))(W(z_0)) \in |N_{i+1}|, \quad \text{dla } i = 0, \dots, k-2,$$

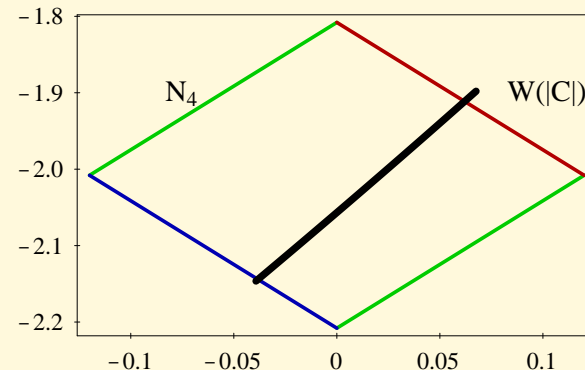
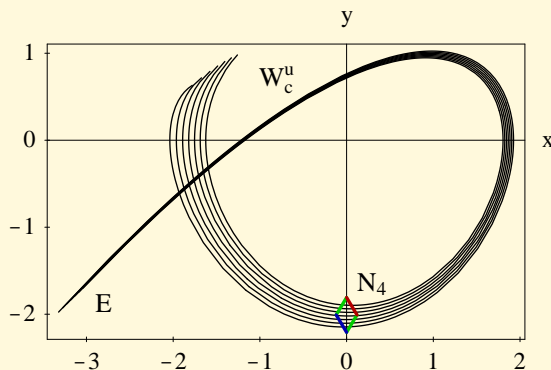
$$(f_{k-1}(z_0, \cdot) \circ \dots \circ f_0(z_0, \cdot))(W(z_0)) \in v(B_{s(N_k)}).$$



Zastosowanie do układu Michelsona.

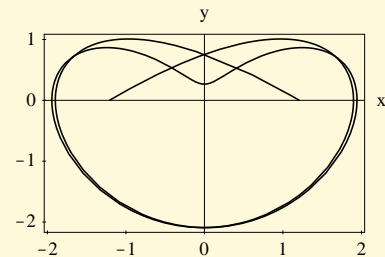
Oznaczmy $C = [0.8285, 0.861]$. Określamy odwzorowanie $W : C \rightarrow \Theta$ w następujący sposób. Dla $c \in C$ przez $W(c)$ oznaczamy drugie przecięcie jednowymiarowej rozmaitości niestabilnej punktu równowagi $(-c\sqrt{2}, 0, 0)$ z sekcją Θ .

Lemat 9 (wspierany komputerowo) W jest dobrze określone i ciągłe na C . Ponadto, $C \xrightarrow{W} N_4$

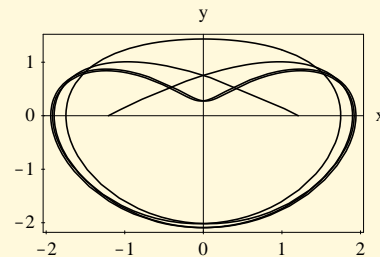
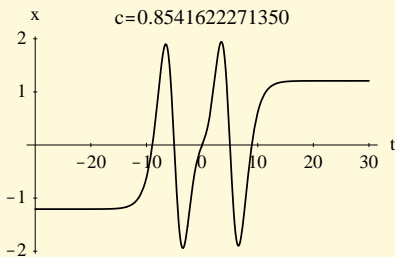




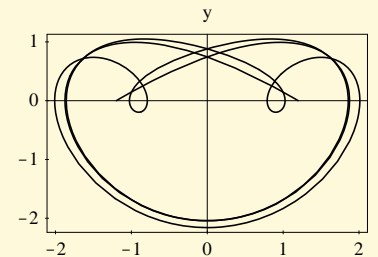
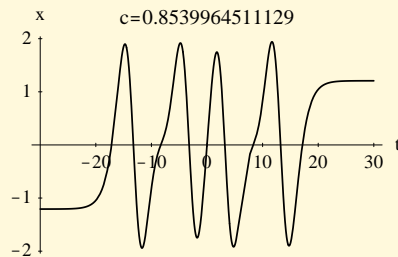
Twierdzenie 10 (DW, 2006) *Istnieje przeliczalnie wiele wartości parametrów $c \in C$, dla których układ Michelsona ma połączenie heterokliniczne z $(-c\sqrt{2}, 0, 0)$ do $(c\sqrt{2}, 0, 0)$*



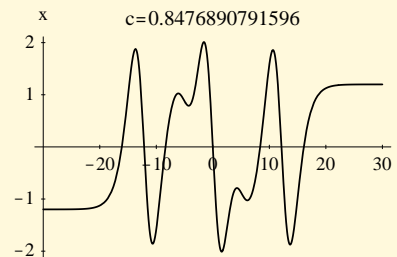
$c=0.8541622271350$



$c=0.8539964511129$

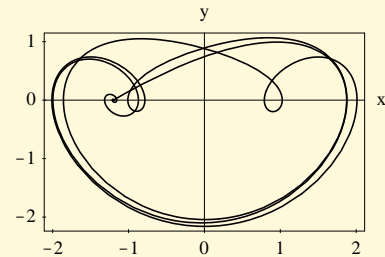


$c=0.8476890791596$

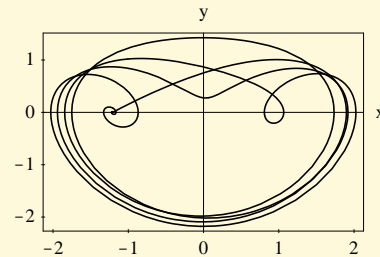
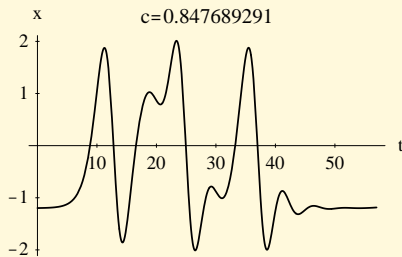




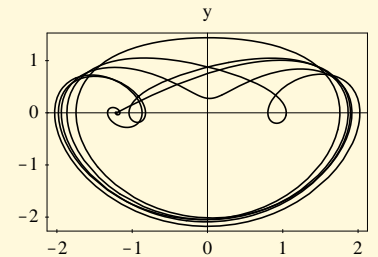
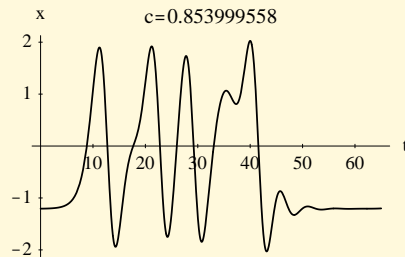
Twierdzenie 11 (DW, 2006) *Istnieje przeliczalnie wiele wartości parametrów $c \in C$, dla których układ Michelsona ma parę orbit homoklinicznych typu Shilnikova.*



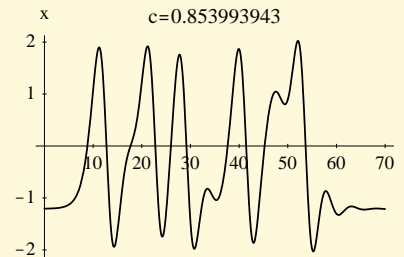
$c=0.847689291$



$c=0.853999558$

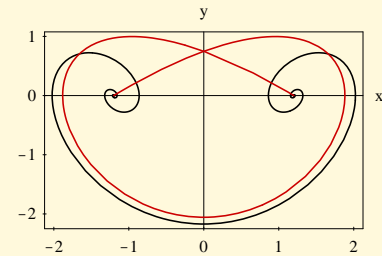


$c=0.853993943$

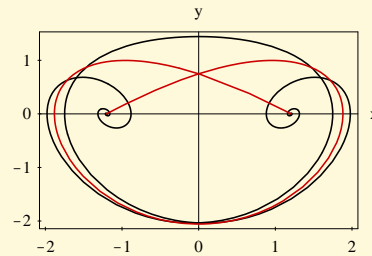
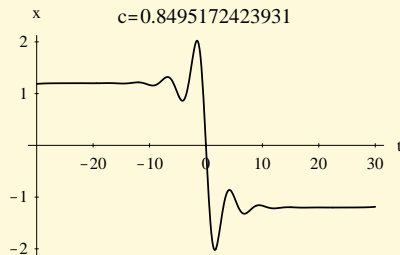




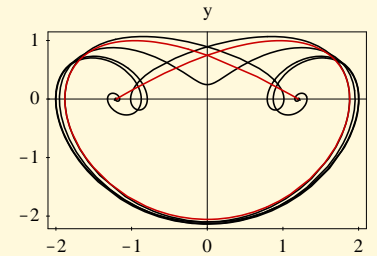
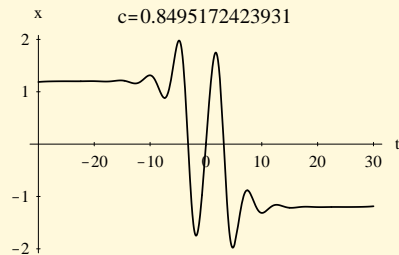
Twierdzenie 12 (DW, 2006) Dla wszystkich wartości parametrów $c \in C$ układ Michelsona ma przeliczalnie wiele połączeń heteroklinicznych z $(c\sqrt{2}, 0, 0)$ do $(-c\sqrt{2}, 0, 0)$



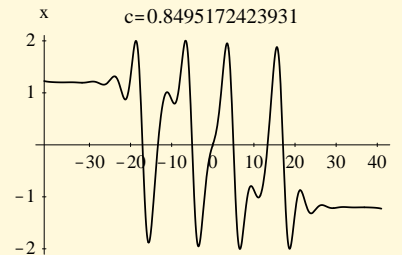
$c=0.8495172423931$



$c=0.8495172423931$

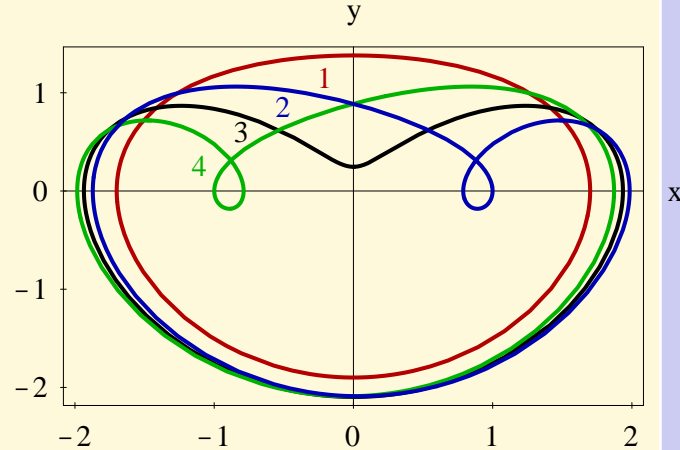
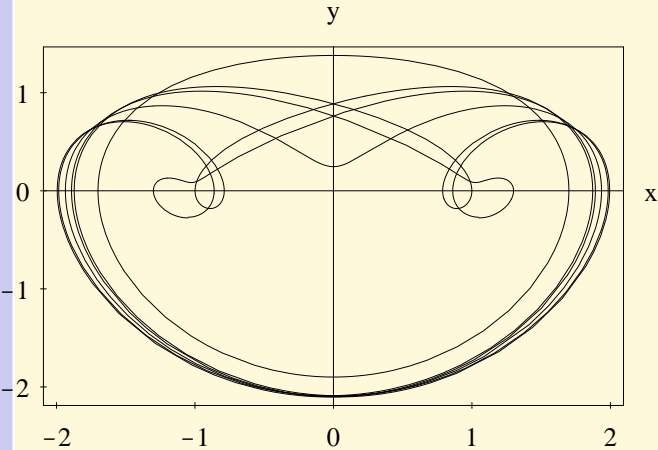


$c=0.8495172423931$



Problemy otwarte

Dla pewnego podzbioru parametrów C prawdopodobnie istnieją kolejne orbity okresowe.



Arytmetyka przedziałowa.

Przedziałowa metoda ...

Relacje nakrywające.

© 2006 D. Wilczak

Strona tytułowa



Strona 26 z 27

Powrót

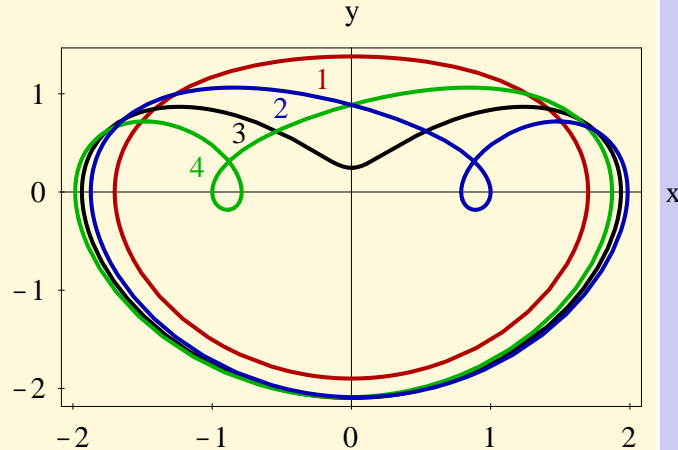
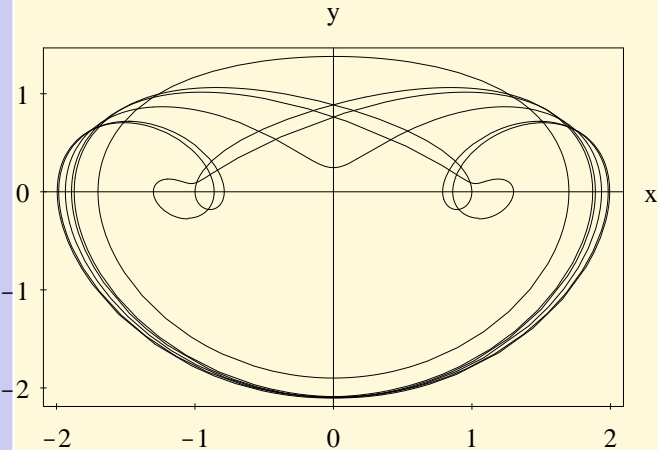
Pełny ekran

Zamknij

Koniec

Problemy otwarte

Dla pewnego podzbioru parametrów C prawdopodobnie istnieją kolejne orbity okresowe.



Pytania:

- Czy układ Michelsona jest Σ_6 chaotyczny?



Arytmetyka przedziałowa.

Przedziałowa metoda ...

Relacje nakrywające.

© 2006 D. Wilczak

Strona tytułowa



Strona 26 z 27

Powrót

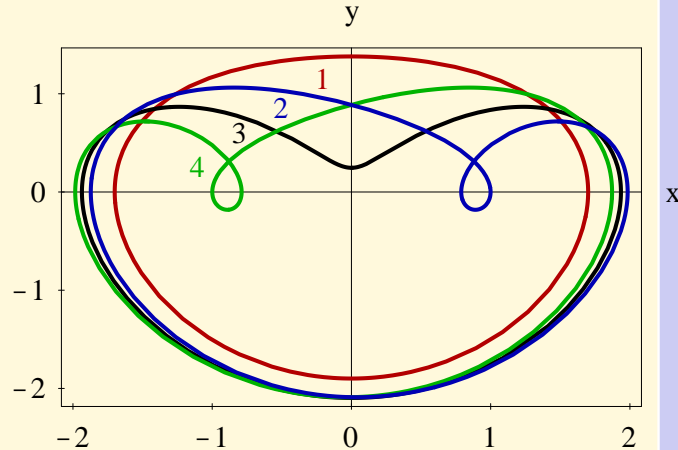
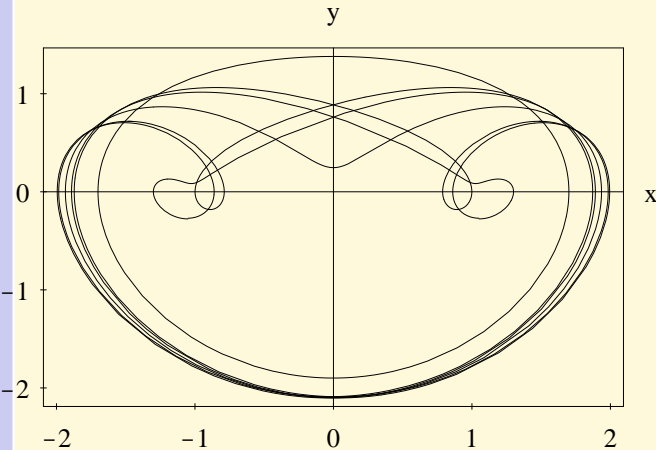
Pełny ekran

Zamknij

Koniec

Problemy otwarte

Dla pewnego podzbioru parametrów C prawdopodobnie istnieją kolejne orbity okresowe.



Pytania:

- Czy układ Michelsona jest Σ_6 chaotyczny?
- Czy struktura rozwiązań homo i heteroklinicznych jest jeszcze bardziej skomplikowana?



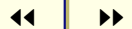
Arytmetyka przedziałowa.

Przedziałowa metoda ...

Relacje nakrywające.

© 2006 D. Wilczak

Strona tytułowa



Strona 26 z 27

Powrót

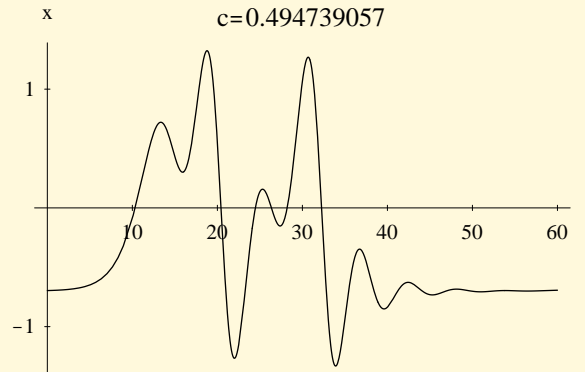
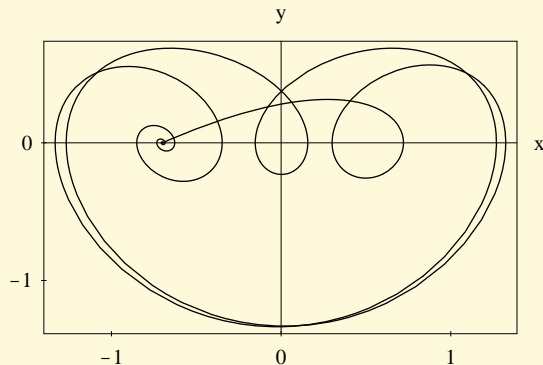
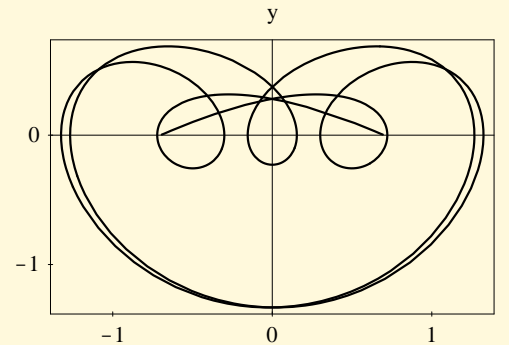
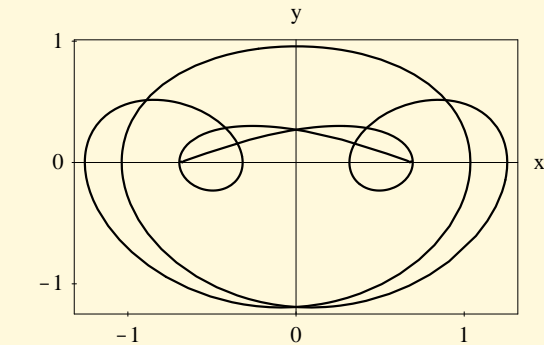
Pełny ekran

Zamknij

Koniec

Kolejne pytania

- Dla wartości parametrów $c \approx 0.49$ obserwuje się kolejną rodzinę rozwiązań homo i heteroklinicznych.



Arytmetyka przedziałowa.

Przedziałowa metoda ...

Relacje nakrywające.

© 2006 D. Wilczak

Strona tytułowa



Strona 27 z 27

Powrót

Pełny ekran

Zamknij

Koniec